

Fig. 1

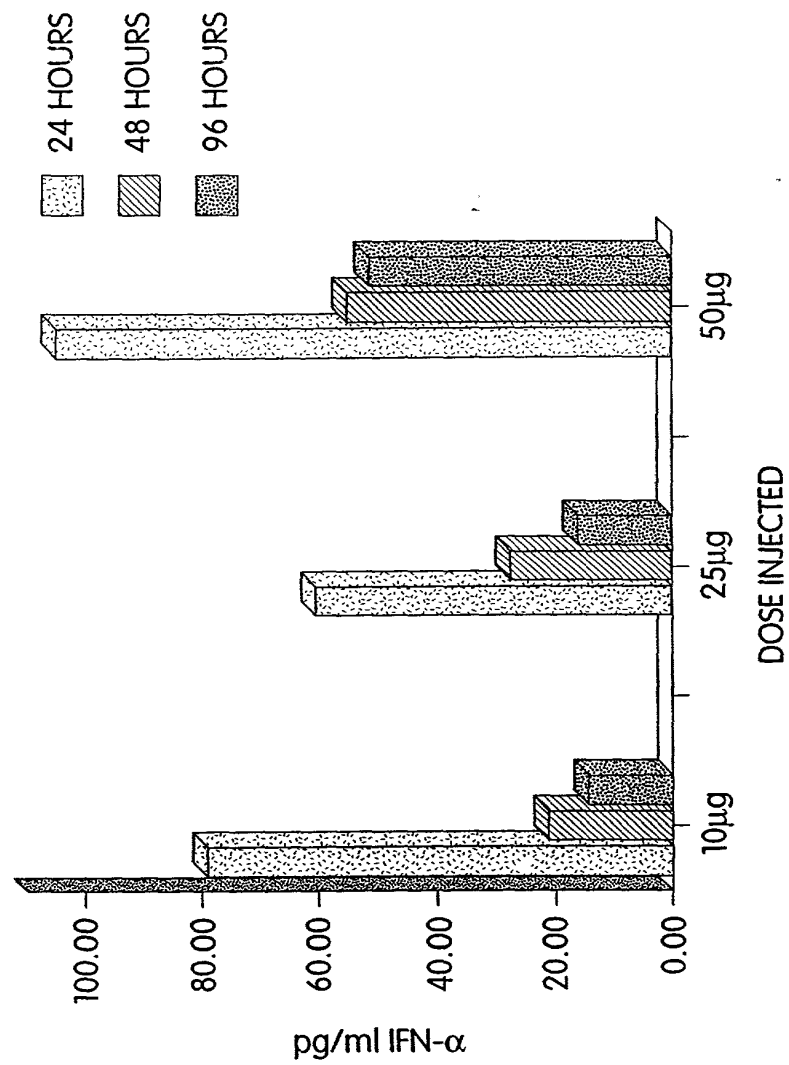


Fig. 2

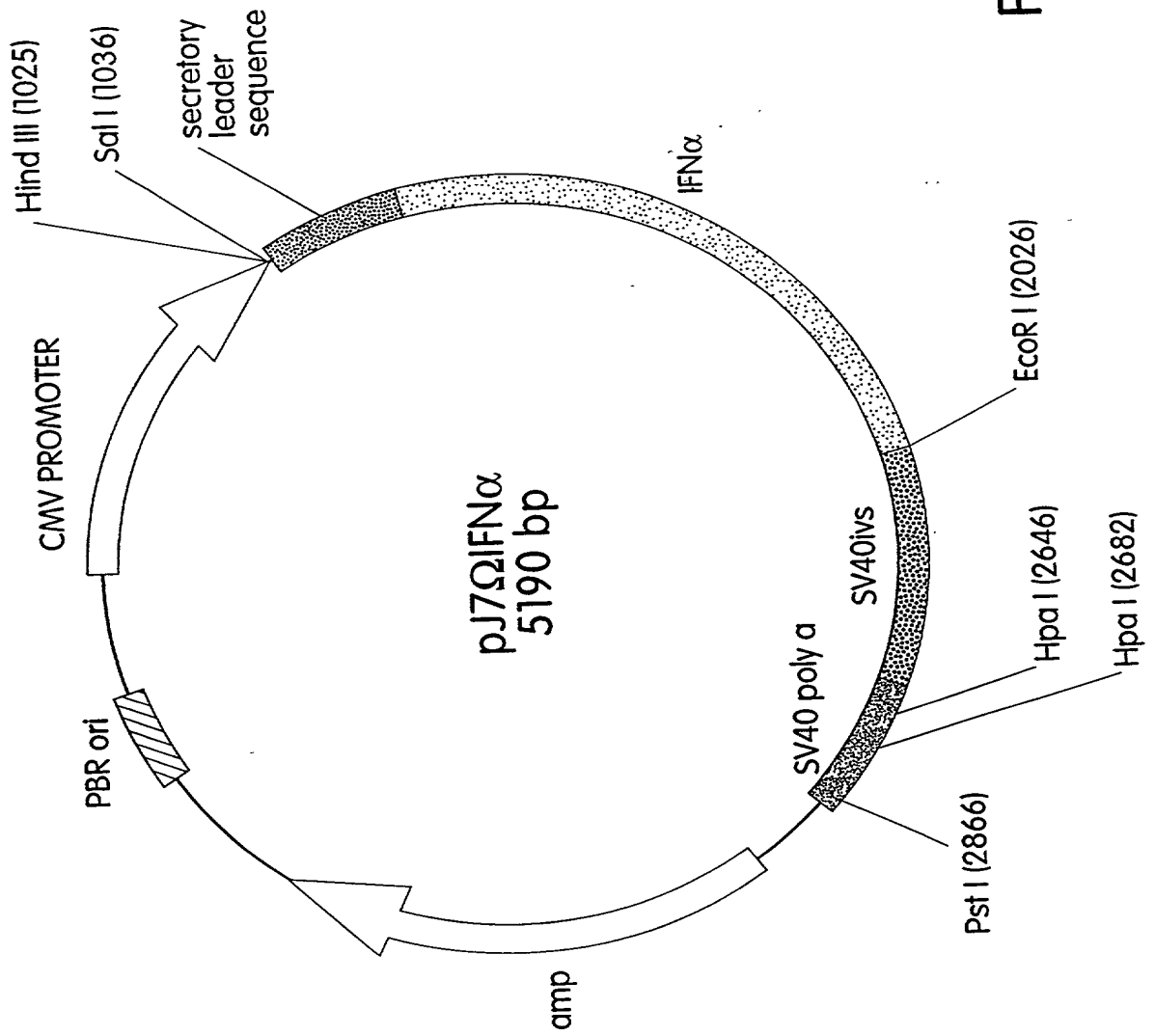


Fig. 3

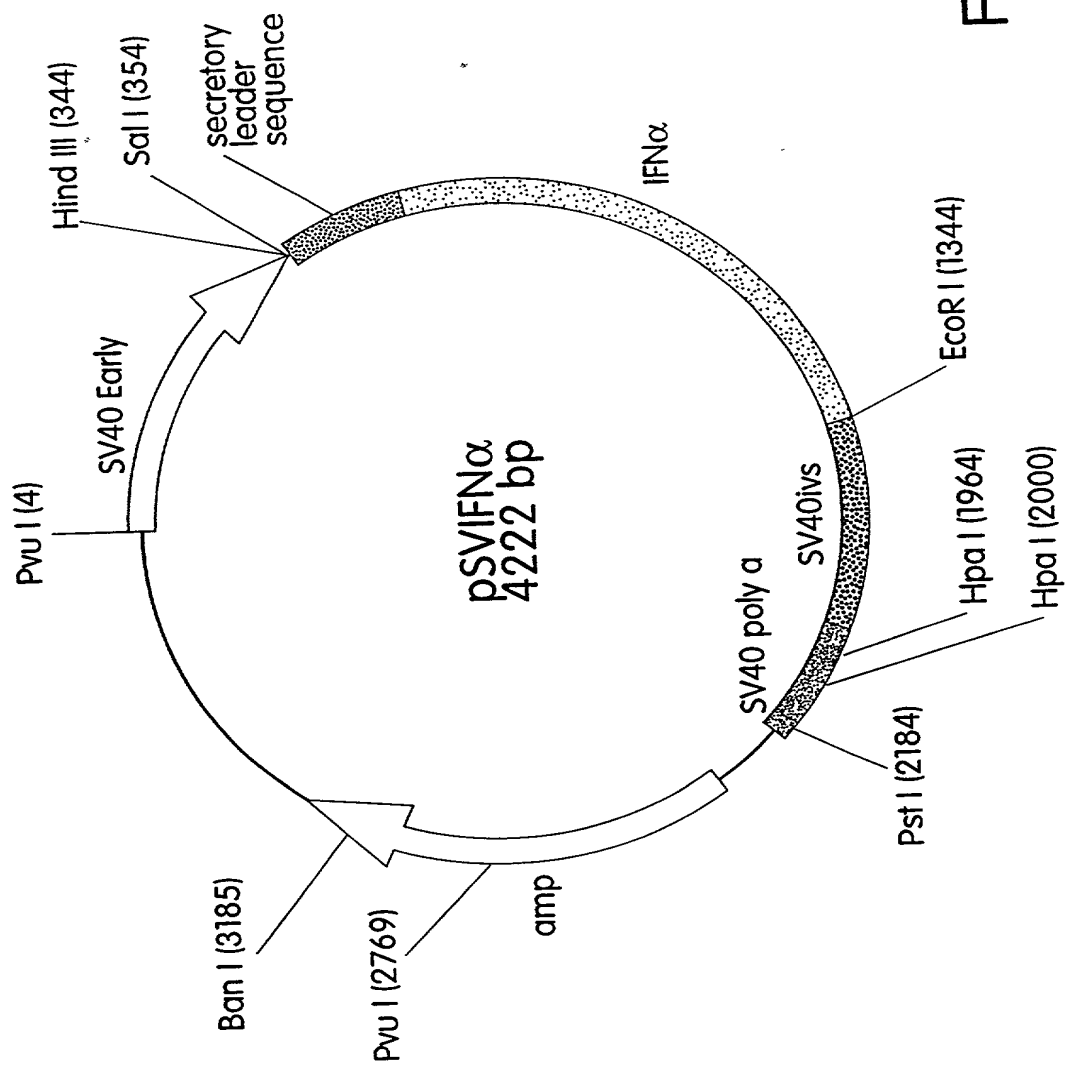


Fig. 4

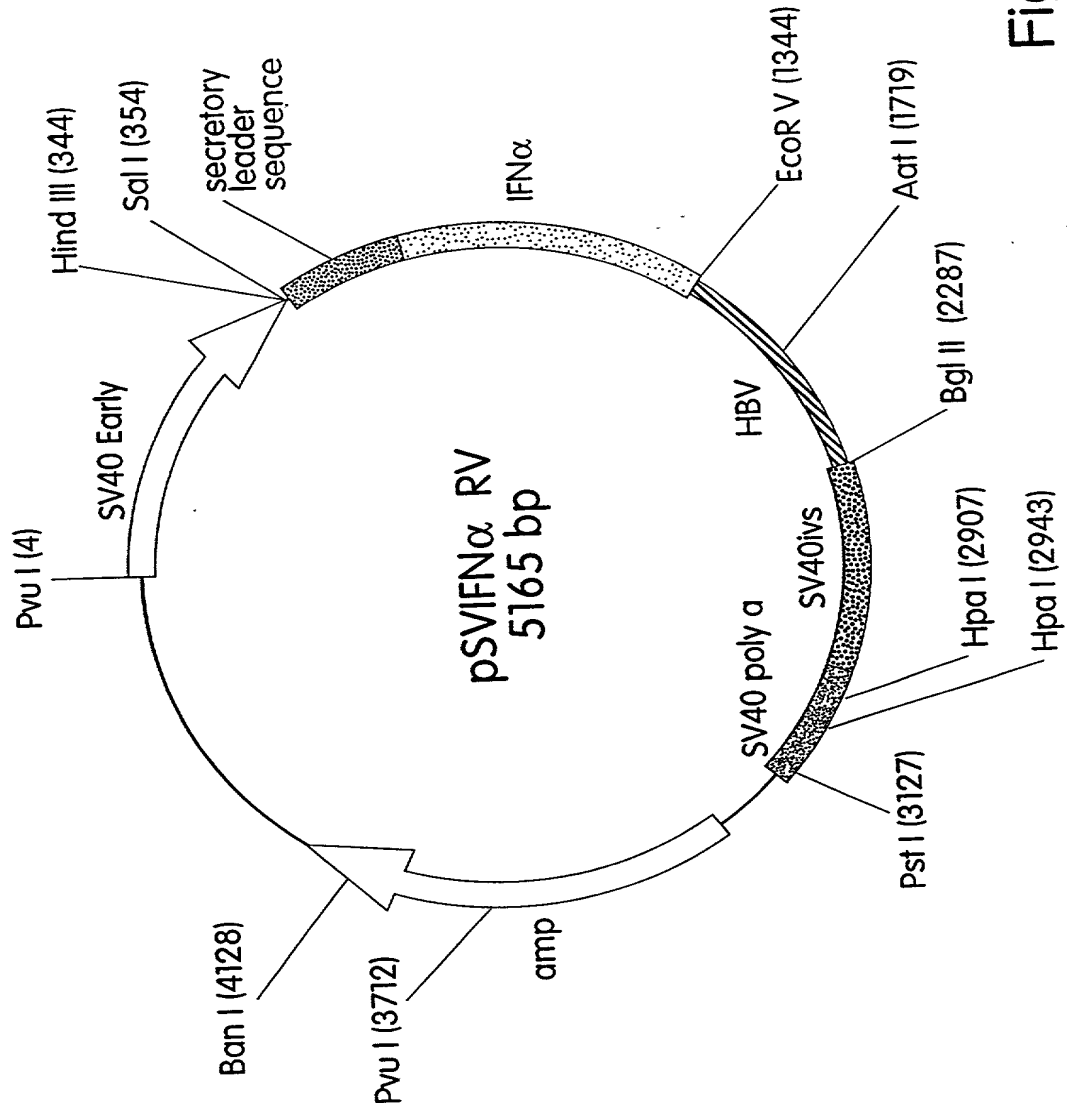


Fig. 5

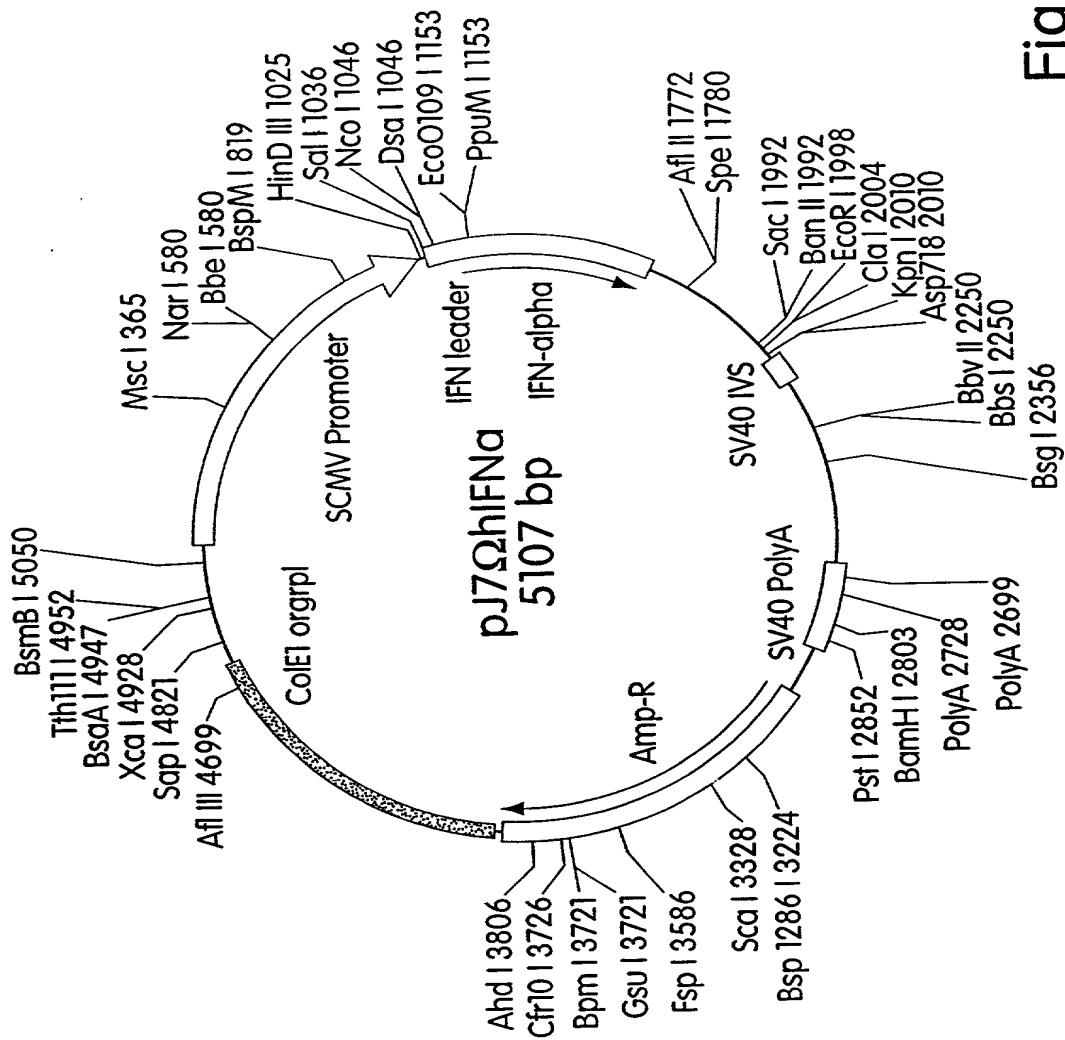


Fig. 6

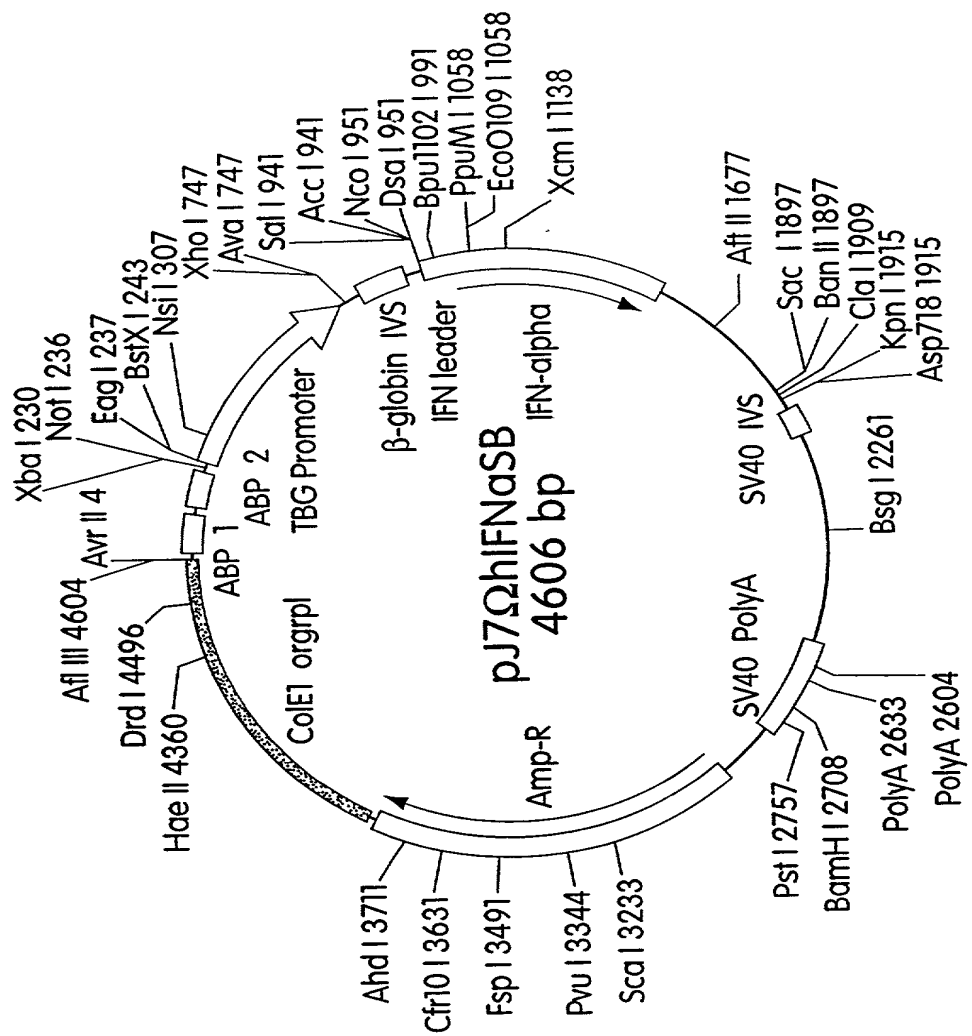


Fig. 7

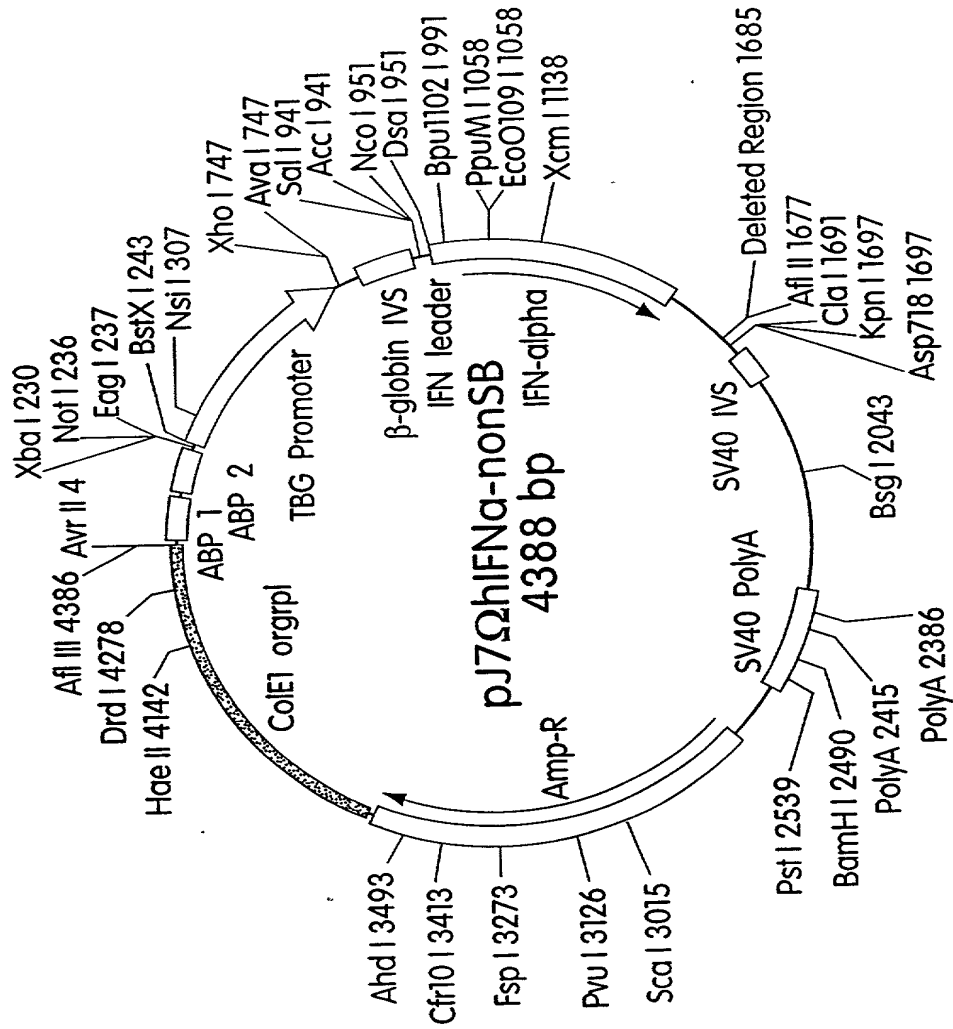


Fig. 8

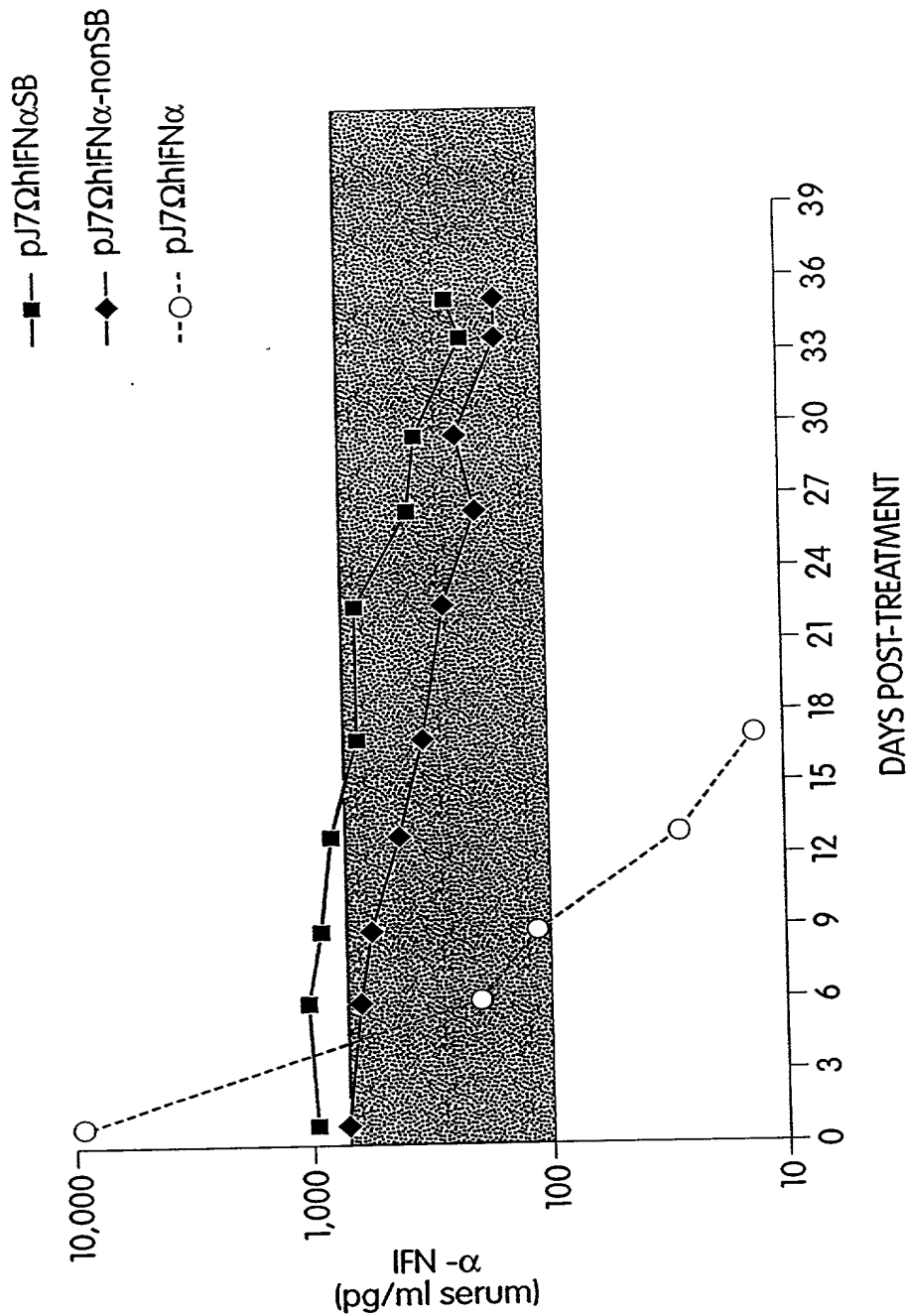


Fig. 9

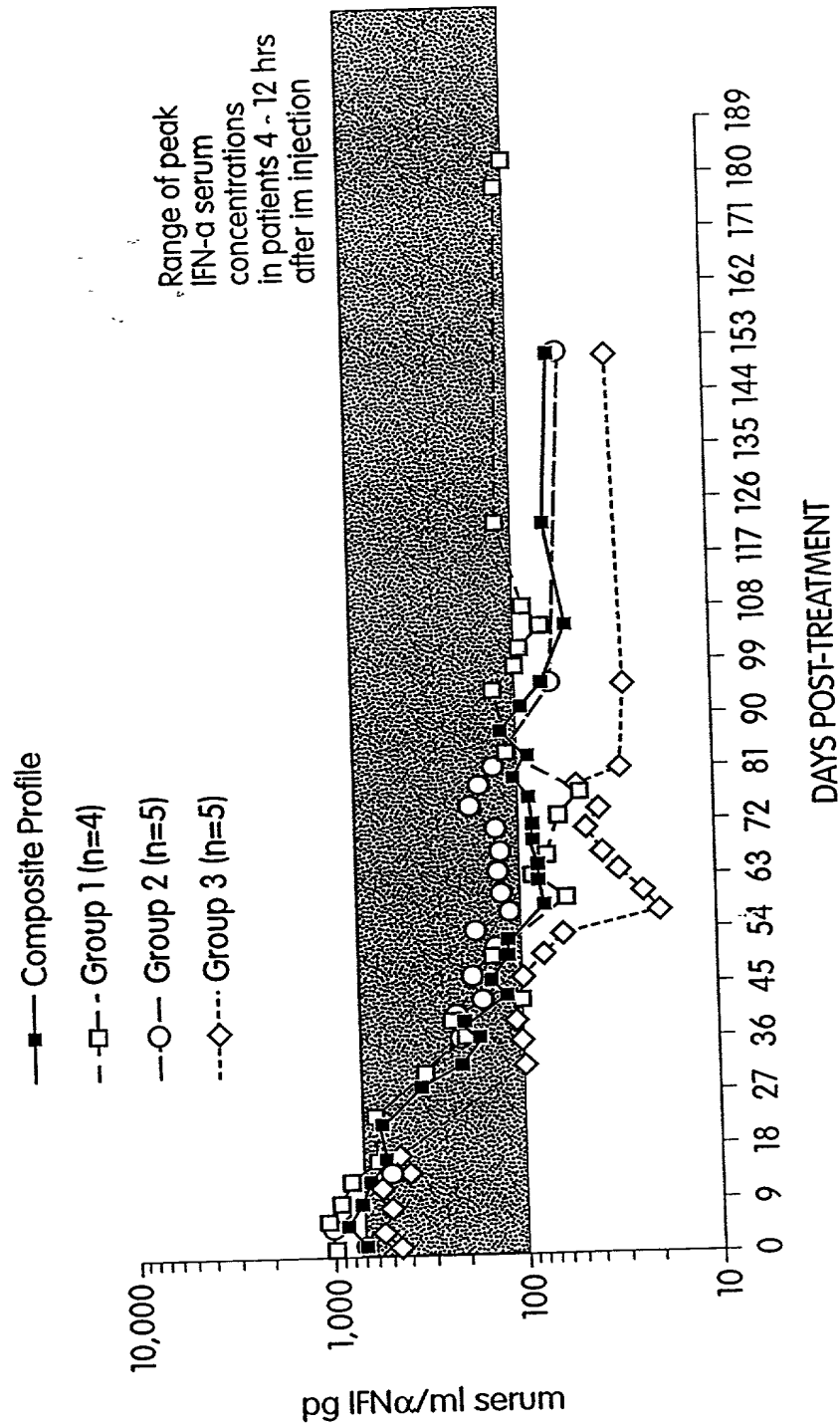


Fig. 10

1 11 21 31 41 51
 IFN-α2 CDLPQTHSLG SRRTLMLLAQ MRRISLFSCL KDRHDFGFPQ EEF-GNQFQK AETIPVLHEM
 IFN-α1 CDLPETHSLD NRRTLMLLAQ MSRISPSSCL MDRHDFGFPQ EEFDGNQFQK APAI^SVLHEL

61 71 81 91 101 111
 IFN-α2 IQQIFNLFT KDSSAAWDET LLDKFYTELY QQNDLEACV IQGVGVTETP LMKEDSILAV
 IFN-α1 IQQIFNLFTT KDSSAAWDED LLDKFCTELY QQNDLEACV MQEERVGETP LMNADSILAV

↓ ↓
 121 131 141 151 161
 IFN-α2 RKYFQRITLY LKEKKYSPCA WEVVRAEIMR SFSLSTNLQE SLRSKE
 IFN-α1 KKYFRITLY LTEKKYSPCA WEVVRAEIMR SLSLSTNLQE RLRKE

Fig. 11A

		121	125	132	152	161	164	Relative Activity	Enhancement Factor
IFN-α2	α2	----- arg --	gln --	lys	----- phe	-- ser	-- ser	1	1
IFN-α2-T132	α2	----- arg --	gln --	THR	----- phe	-- ser	-- ser	0.1	0.05
IFN-α2-R125	α2	----- arg --	ARG --	lys	----- phe	-- ser	-- ser	140	200
IFN-α2-K121	α2	----- LYS --	gln --	lys	----- phe	-- ser	-- ser	17	15
→ IFN-α2-K121R125	α2	----- LYS --	ARG --	lys	----- phe	-- ser	-- ser	400	3000
IFN-α2-R125T132	α2	----- arg --	ARG --	THR	----- phe	-- ser	-- ser	23	10
IFN-α2-K121R125T132	α2	----- LYS --	ARG --	THR	----- phe	-- ser	-- ser	170	150
IFN-α2-H125	α2	----- arg --	HIS --	lys	----- phe	-- ser	-- ser	9	
IFN-α2-L125	α2	----- arg --	LEU --	lys	----- phe	-- ser	-- ser	5	
IFN-α2-K125T132	α2	----- arg --	LYS --	THR	----- phe	-- ser	-- ser	4	

Fig. 11B

12/14

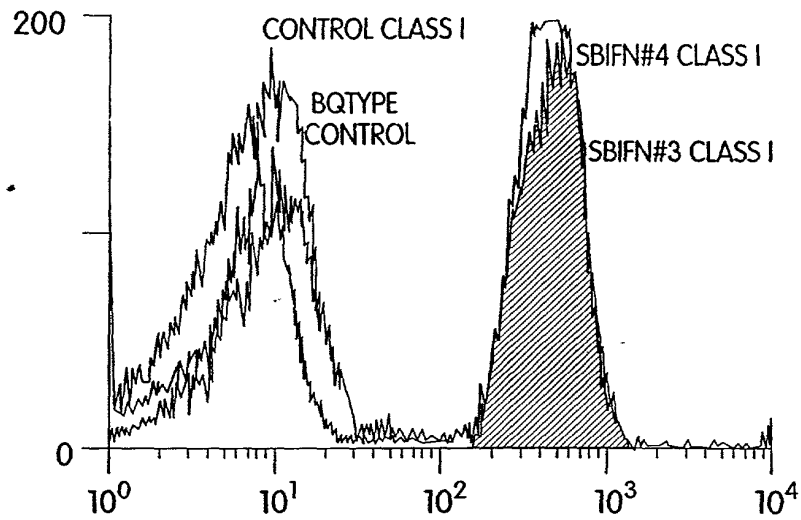


Fig. 12A

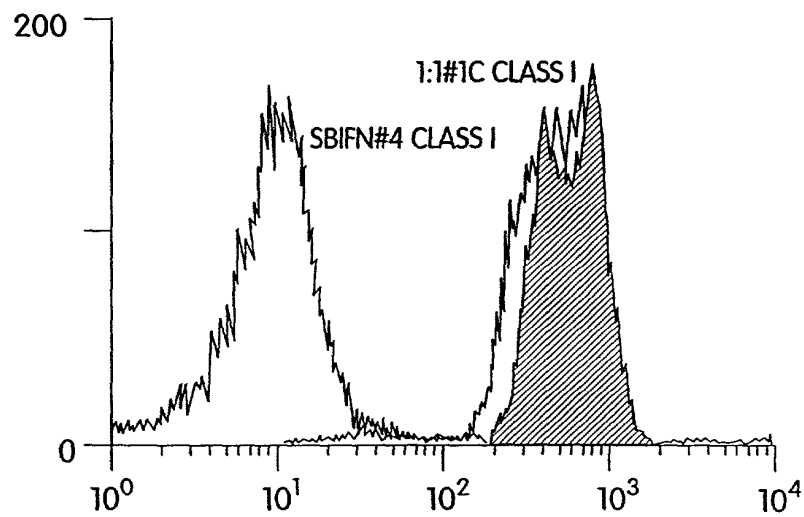


Fig. 12B

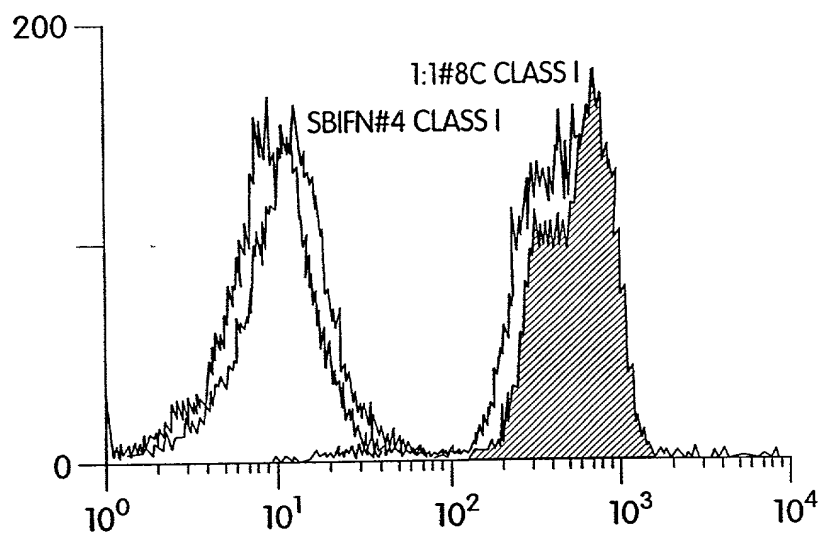


Fig. 12C

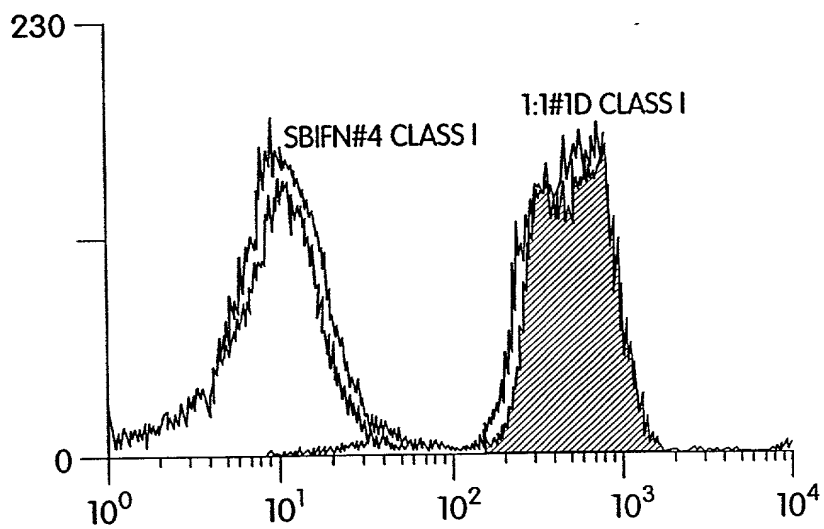


Fig. 12D

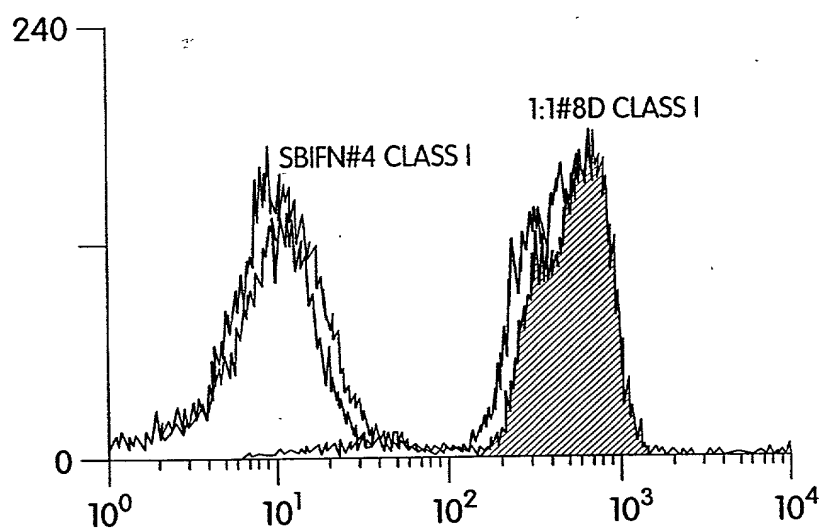


Fig. 12E